

長崎大学工学部 正員 崎山 敏

1. まえがき 極端な偏平アーチを除けば、橋梁主構として用いられる、拱矢比 $\frac{h}{l} = 0.1 \sim 0.5$  の範囲の対称形アーチにおいては、対称荷重作用下において、非対称型の分歧座屈が生じる。このようなアーチの座屈耐荷性に対する、アーチ部材の幾何学的形状に関する初期不整が大きさ影響を与える、非対称変形、誘導により、座屈耐荷能を低下せしめることが Schreyer<sup>(1)</sup> や Cary<sup>(2)</sup> によると明らかにされている。本文は、初期不整量と確定量との取り扱い、集中荷重、Deck Load、Ride Load を受けたアーチの有限変形解析にもとづいて、往復形アーチの座屈および座屈後掌重軸にあよぼす、アーチ軸線の初期変位の影響を明らかにしたものである。

2. 増分形基礎方程式との離散的解法 アーチの変形状態における力の平衡条件にもとづいて、増分形の基礎微分方程式が説明される。変形前アーチにおける、部材軸座標を  $s$ 、曲率半径を  $R(s)$  とし、変形前アーチの法線および接線方向の分布荷重強度を  $p(s)$ 、 $q(s)$ 、分布モードの分布荷重強度を  $m(s)$  とする。また、アーチ部材往復表面のせん断力、軸力および曲げモーメントを  $Q$ 、 $N$ 、 $M$  とし、アーチ軸往復角の正負角、伸縮ひずみ  $\varepsilon$  とすれば、往復形アーチの変形状態における平衡条件は次の3式によって与えられる。

$$\frac{d\bar{Q}}{ds} + \left(1 + R \frac{d\theta}{ds}\right) \frac{\bar{N}}{R} + p \cos \theta - q \sin \theta = 0 \quad (1-a)$$

$$\frac{d\bar{N}}{ds} - \left(1 + R \frac{d\theta}{ds}\right) \frac{\bar{Q}}{R} + p \sin \theta + q \cos \theta = 0 \quad (1-b), \quad \frac{d\bar{M}}{ds} - (1+\varepsilon) \bar{Q} - m = 0 \quad (1-c)$$

次に、 $p$ 、 $q$ 、 $m$  なる初期荷重状態における断面力を  $Q^*$ 、 $N^*$ 、 $M^*$  とし、さらには、十分小さな増分荷重  $\Delta p$ 、 $\Delta q$ 、 $\Delta m$  を付加した場合のせん断力、軸力、曲げモーメント、正負角、接線方向変位、法線方向変位および伸縮ひずみの増分を、それぞれ、 $\Delta Q^*$ 、 $\Delta N^*$ 、 $\Delta M^*$ 、 $\Delta \theta$ 、 $\Delta w^*$ 、 $\Delta u^*$  および  $\Delta \varepsilon$  とすれば、式(1-a)～(1-c)を適用して、次のようなく、増分形の平衡方程式が求められる。

$$\frac{d\Delta Q^*}{ds} + \frac{\Delta N^*}{R} + N^* \frac{d\Delta \theta}{ds} - q \Delta \theta + \Delta p + \left[ \Delta N^* \frac{d\Delta \theta}{ds} - \Delta q \Delta \theta + (p + \Delta p)(\cos \Delta \theta - 1) - (q + \Delta q)(\sin \Delta \theta - \Delta \theta) \right] = 0 \quad (2-a)$$

$$\frac{d\Delta N^*}{ds} - \frac{\Delta Q^*}{R} - Q^* \frac{d\Delta \theta}{ds} + p \Delta \theta + \Delta q + \left[ -\Delta Q^* \frac{d\Delta \theta}{ds} + \Delta p \Delta \theta + (p + \Delta p)(\sin \Delta \theta - \Delta \theta) + (q + \Delta q)(\cos \Delta \theta - 1) \right] = 0 \quad (2-b)$$

$$\frac{d\Delta M^*}{ds} - \Delta Q^* - Q^* \Delta \varepsilon - \Delta m - \Delta Q^* \Delta \varepsilon = 0 \quad (2-c)$$

このとき、断面力増分  $\Delta Q^*$ 、 $\Delta N^*$ 、 $\Delta M^*$  と変位増分  $\Delta \theta$ 、 $\Delta w^*$ 、 $\Delta u^*$  との間に、次の関係が成立する。

$$\Delta M^* = -EI(s) \frac{d\Delta \theta}{ds}, \quad (2-d), \quad \Delta N^* = EA(s) \left[ \frac{d\Delta w^*}{ds} - \frac{\Delta u^*}{R(s)} \right] \quad (2-e)$$

$$\Delta \theta = \frac{d\Delta u^*}{ds} + \frac{\Delta w^*}{R(s)} \quad (2-f)$$

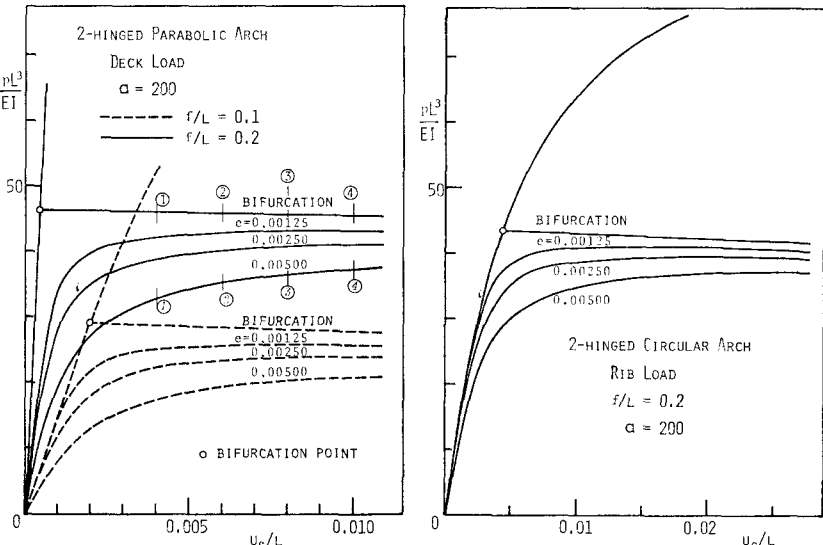
なお、(2-a)～(2-c) の各式における左辺の最終項は不平衡力の補正項である。

アーチ軸長、アーチ支向、基準曲げ剛性および基準伸縮剛性を、 $L$ 、 $L_s$ 、 $EI_0$ 、 $EA_0$  とし、 $\Delta Q = -\Delta Q^* L_s^2 / EI_0$ 、 $\Delta N = -\Delta N^* L_s^2 / EI_0$ 、 $\Delta M = -\Delta M^* L_s^2 / EI_0$ 、 $\Delta w = \Delta w^* L_s / L$ 、 $\Delta u = \Delta u^* L_s / L$ 、 $\gamma = s/L$  なる無次元量により、式(2-a)～(2-f)を無次元化し、アーチ部材軸座標  $\gamma$  の原点をアーチ左端にとること、諸式を変域  $[0, 1]$  の積分式、積分方程式に変換する。次に、全変域  $[0, 1]$  を  $m$  等分し、左側等分点より順に  $0, 1, 2, \dots, m-1, m$  なる番号を付す。往復角にあける諸量に添字  $i$  を付すと、積分方程式に等間隔の数値積分法をくり返し適用することになり、離散化にあける一般解が求められ、次々各式となる。

$$\begin{aligned}
 \begin{bmatrix} \Delta Q_i \\ \Delta N_i \\ \Delta M_i \\ \Delta \theta_i \\ \Delta w_i \\ \Delta u_i \end{bmatrix} &= \begin{bmatrix} a_{11} & a_{21} & \dots & a_{i1} & a_{n1} \\ b_{11} & b_{21} & \dots & b_{i1} & b_{n1} \\ c_{11} & c_{21} & \dots & c_{i1} & c_{n1} \\ d_{11} & d_{21} & \dots & d_{i1} & d_{n1} \\ e_{11} & e_{21} & \dots & e_{i1} & e_{n1} \\ f_{11} & f_{21} & \dots & f_{i1} & f_{n1} \end{bmatrix} \begin{bmatrix} \Delta Q_0 \\ \Delta N_0 \\ \Delta M_0 \\ \Delta \theta_0 \\ \Delta w_0 \\ \Delta u_0 \end{bmatrix} \\
 &\quad (3-a) \quad \begin{aligned}
 A_{ki} &= \delta_{kk} + \sum_{j=1}^2 \beta_{ij} V \left\{ -Y_j \cdot E k_j - \bar{Y}_j N_j \cdot C k_j - k^2 \bar{\delta}_{kj} \cdot d k_j + \delta m_j \cdot k^2 (A \bar{P}_j + \Delta \bar{P}_j) \right\} \\
 B_{ki} &= \delta_{k2} + \sum \beta_{ij} V \left\{ Y_j \cdot A k_j + \bar{Y}_j Q_j \cdot C k_j + k^2 \bar{P}_j \cdot d k_j + \delta m_j \cdot k^2 (\Delta \bar{\delta}_{kj} + \Delta \bar{C}_{kj}) \right\} \\
 F_{ki} &= \delta_{kk} + \sum \beta_{ij} V (-Y_j \cdot E k_j + d k_j) \\
 \bar{C}_{kj} &= 70 \pi \cdot \gamma P - 9 \pi^2 L^2, \quad Y_j = \gamma / R_j, \quad \bar{I}_j = EI_j / EI_j, \quad k^2 = \Delta P L^3 / EI_j. \quad \dots \\
 \beta_{ij} &= d_{ij} / 24m, \quad d_{ij} : \text{数値積分の重み係数}
 \end{aligned}
 \end{aligned}$$

3. 数値解構結果 初期変位  $\epsilon$  は、円弧アーチには  $\epsilon/4 = e \cdot \sin 2\pi z$ 、放物線アーチには  $\epsilon/4 = e \cdot \sin 2\pi z$  及び逆対称型の法線方向変位を仮定した。又、無次元座標  $z$  はアーチ左端を原点とする水平軸座標である。図-1 は、アーチクラウンに鉛直集中荷重  $P$  を受けた、 $t/L = 0.25$ 、細長比  $a = \sqrt{A_0 I_0 / L_0} = 200$  なる円弧アーチと放物線アーチの荷重-変形曲線である。放物線アーチには  $\epsilon/4 = e \cdot \sin 2\pi z$ 、 $e = 0, 0.005$  の場合の荷重-変形曲線である。放物線アーチには  $\epsilon/4 = e \cdot \sin 2\pi z$ 、 $e = 0.005$  の場合の最高荷重  $PL^2/EI = 33.4$  である。又、初期変位  $\epsilon$  が零である場合の最高荷重は  $PL^2/EI = 27.7$  である。又、初期変位  $\epsilon$  により耐荷能力は約 17% 低下する。又、円弧アーチには、分歧座屈荷重  $PL^2/EI = 33.3$ 、 $e = 0.005$  の場合の最高荷重  $PL^2/EI = 29.4$  である。約 12% の耐荷能力が低下するためである。図-2 は Deck Load を受けた  $t/L = 0.1, 0.2, a = 200$  なる放物線アーチの荷重-変形曲線である。Deck Load を受けた、初期変位のない放物線アーチにはほぼ完全平面圧力状態であるが初期変位が存在する場合には、載荷開始時より曲率変形が発生し、荷重-変形曲線は直線的ではなく分歧経路に漸近する。図-3 の場合と同様、初期変位がある場合の荷重-変形曲線はほぼ水平な分歧経路に漸近する。

又、初期変位との他の初期不整の大きさや分布は、本来、ランダムなものと考えられ、その影響は統計的方法にまとめられて解説される。又、モニタカルロ・シミュレーション法などを用いたことにより、本解説法によるアーチの有限変形の確率的解析も可能であると思われる。



(図)-1

(1) H.L.Schrager: The Effect of Initial Imperfections on the Buckling Load of Shallow Circular Arches., Jour. Appl. Mech., June, 1972, p.445 (2) K.M.Cary, D.W.Kao: Finite Element Analysis of Buckling and Post-Buckling Behaviors of Arches with Geometric Imperfections., Com.& Stru., Vol.3, 1973, p. 149